

Начальник группы тепловизионного контроля ООО «Элегазэнергосервис» Еремин Геннадий Львович.

Опыт работы группы тепловизионного контроля по диагностике электрооборудования на энергопредприятиях ОАО «Мосэнерго» и ОАО «МОЭСК».

Все большую популярность получает использование инфракрасной аппаратуры в энергетике и это естественно. Электросопротивление и наличие тепла – два взаимосвязанных фактора. Электрический ток, протекающий через проводник или диэлектрик, создает определенное количество энергии или тепла. Поэтому при увеличении сопротивления увеличивается и тепловыделение.

Для выявления электрооборудования с повышенным тепловыделением и оценки его теплового состояния применяют инфракрасные приборы – тепловизоры. Это связано с очевидными преимуществами ИК-аппаратуры по сравнению с другими методами неразрушающего контроля.

Во-первых, дистанционность измерения, которая обеспечивает безопасность работающего персонала, не вносятся помехи на поверхность объекта контроля; диагностику проводят при работающем электрооборудовании без вмешательства в процесс выработки и распределения электроэнергии, то есть еще на ранней стадии развития дефекта.

Во-вторых, высокая температурная разрешающая способность в сотые доли градуса.

В-третьих, оперативность контроля – высокочастотная разрешающая способность, определяющая скорость развертки.

В-четвертых, высокая пространственная способность – съемка объектов разных размеров от нескольких миллиметров до нескольких метров;

В-пятых, высокопрофессиональные прикладные программы обработки термограмм, составления протоколов и их редактирования и т.д., без которых сложно обойтись.

Правда имеются и недостатки ИК-аппаратуры:

- измеряется только температура поверхностных слоев объекта;
- значительное влияние окружающей среды;
- влияние теплорадиационных свойств объекта;

В зависимости от выбора инструмента диагностирования будет зависеть и достоверность измерения. В настоящий момент для термодиагностики используются различные марки зарубежных тепловизионных систем фирм: США (FLIR Systems, Mikron), Франции (CEDIP) , Японии (NEC, Nippon Avionics) и других стран через посреднические компании "Пергам", "Диагност", "Термотест" и др., а также отечественных производителей тепловизионных систем: ООО «ИРТИС», Метрон, МНПП «Нейроком» и другие.

Любая из вышеперечисленных фирм выпускает инфракрасные системы, позволяющие решать почти все задачи тепловизионной диагностики электрооборудования. Однако, они существенно отличаются трудозатратами, качеством изображения и возможностями его регистрации и обработки.

У приборов, в которых используется неохлаждаемые детекторы излучения, имеется нестабильность чувствительности во времени, и она тем больше, чем дольше ведется съемка;

Чувствительность и обнаружительная способность выше у приборов с охлаждаемым детектором излучения.

С 1996 года мы применяем для диагностики электрооборудования тепловизионную систему «ИРТИС-200» с охлаждаемым детектором излучения., которая устраивает нас по всем показателям: от минимальной цены за такой класс ИК аппаратуры, которая ниже зарубежных более, чем в 3 раза, до основной задачи тепловизионной аппаратуры – выявление дефектного электрооборудования в том числе и с фарфоровыми покрышками (ТТ, ТН, вводы и т.д.) в любых климатических условиях. Нам приходилось работать с ним даже в 25 градусный мороз и прибор сохранял свою работоспособность. К тому же наличие прикладных программ обработки термограмм, составления протоколов,

редактирования их и т.д., позволяет быстро, достоверно и наглядно составлять протоколы тепловизионного обследования.

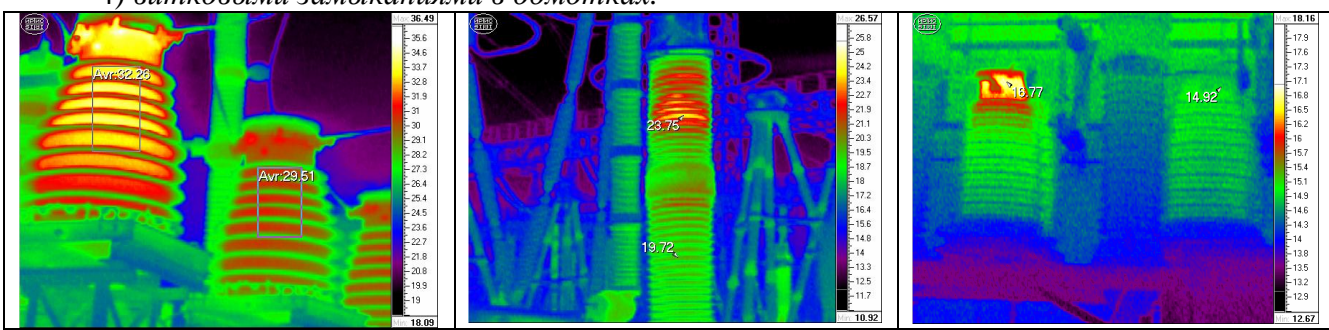
В данной статье мне хочется поделиться накопленным опытом по диагностике электрооборудования и линий электропередач, полученными тепловизионной группой ООО «Элегазэнергосервис» на энергопредприятиях более чем за 10 лет. За период с 1996 по 2007 год нами обследовано более 56000 единиц (трехфазного) электрооборудования и около 1000 км воздушных линий электропередач. За этот период очень изменился подход к определению состоянию электрооборудования от тепловизионного контроля (выявления мест повышенных нагревов) до диагностирования (определения технического состояния объекта с определенной точностью, с выдачей заключения о нем). Это связано с развитием тепловизионной аппаратуры, которая становится уже не только качественной тепло-холодно, но и количественной, то есть измерительной, но и с тем, что на данный момент электрооборудование, в большей своей части, отработало свой ресурс и требуется проводить его проверку по техническому состоянию.

Далее привожу термограммы с наиболее типовыми дефектами, встреченными нами, при тепловизионном обследовании электрооборудования.

Трансформаторы тока.

Для трансформатора тока тепловизионный контроль является вспомогательным методом и при оценке его состояния необходима комплексная диагностика для уточнения дефекта, так как нагревы ТТ могут быть вызваны по следующим причинам:

- 1) дополнительными потерями в стали магнитопровода ТТ.
- 2) увлажнением и загрязнением масла ТТ.
- 3) конструктивными или технологическими факторами.
- 4) витковыми замыканиями в обмотках.



Нагрев вызван дефектом масла и бумажно-масляной изоляции в ТТ 110 кВ (низкое пробивное напряжение Упр.)

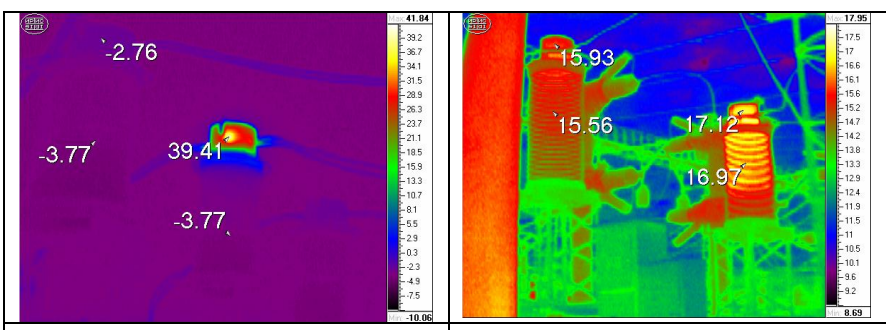
Нагрев вызван дефектом изоляции между первичной и вторичной обмотками

Нагрев вызван дефектом внутреннего переключающего устройства

Рис.1.

Рис.2.

Рис.3



Нагрев вызван дефектом внутреннего контактного соединения с первичной обмотки

Нагрев вызван дефектом масла и бумажно-масляной изоляции ТТ 220кВ (высокий tg δ)

Рис.4.

Рис.5.

Трансформаторы напряжения.

Нагревы ТН могут быть вызваны по следующим причинам:

- шламообразование на обмотках и магнитопроводе ТН, увлажнением и загрязнением масла, изоляционных стоек и маслобарьерной изоляции;
- дополнительные потери в стали магнитопровода, нарушение изоляции стяжных шпилек с образованием короткозамкнутых контуров;
- использование в ряде случаев при сборке ТН катушек обмотки ВН с заниженным сечением провода.;
- влияние внешних емкостных связей на распределение напряжения по каскадам.



Рис.6. Нагрев вызван дефектом масла и бумажно-масляной изоляции (высокий $\tg \delta$)

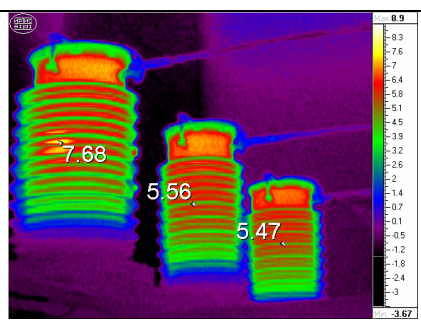


Рис.7. Нагрев вызван дефектом контактного соединения обмотки ВН

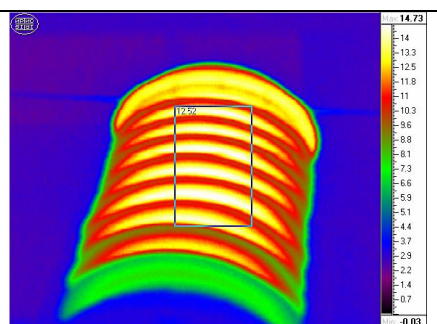


Рис.8. Нагрев вызван потерями в сердечнике магнитопровода из-за нарушения изоляции стяжных шпилек

Рис.6.

Рис.7.

Рис.8.

Силовые трансформаторы

В них с помощью термографии можно определить наличие дефектов вызванных по следующим причинам:

- возникновение магнитных полей рассеяния вследствие нарушения изоляции элементов магнитопровода (консоли, шпильки и т.д.)
- нарушение в работе системы охлаждения трансформатора (маслонасосов, фильтров, вентиляторов, радиаторов и т.д.).
- изменение внутренней циркуляции масла в баке трансформатора (образование застойных зон)
- нагрев внутренних контактов обмоток с выводами трансформатора
- витковые замыкания обмотки
- неправильно выполненное заземление магнитопровода или обрыв заземления.

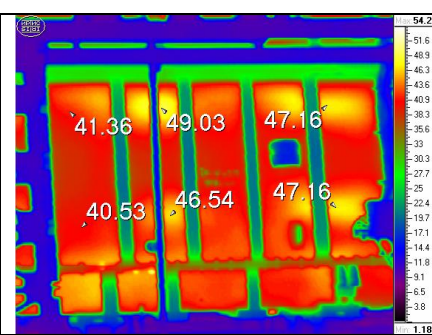


Рис.9. Локальные нагревы стенки бака трансформатора вызваны полями рассеяния

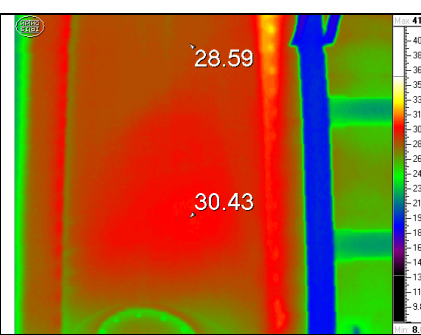


Рис.10. Локальный нагрев стенки бака трансформатора вызван дефектом контактного соединения ввода 500кВ с обмотками

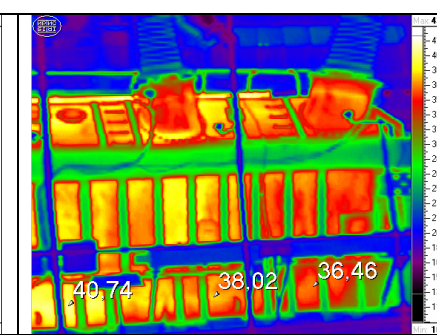
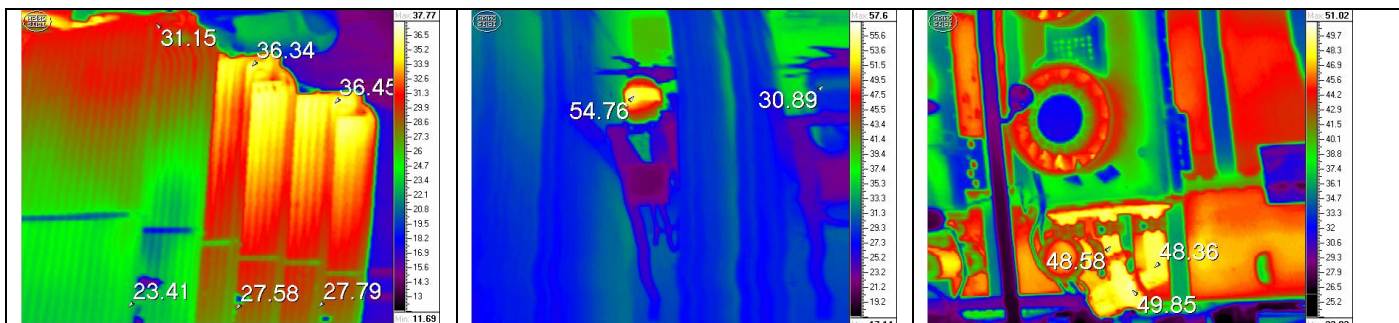


Рис.11. Пониженная температура бака трансформатора вызвана образованием застойных зон в баке трансформатора из-за зашламления поддона трансформатора

Рис.9.

Рис.10.

Рис.11.



Пониженный нагрев радиатора вызван нарушением работы системы охлаждения из-за не полного открытия плоского крана радиатора.

Рис.12

Перегрев двигателя вентилятора вызван неполнофазной работой электродвигателя вентилятора

Рис.13

Локальный нагрев улитки маслонасоса вызван трением крыльчатки маслонасоса

Рис.14.

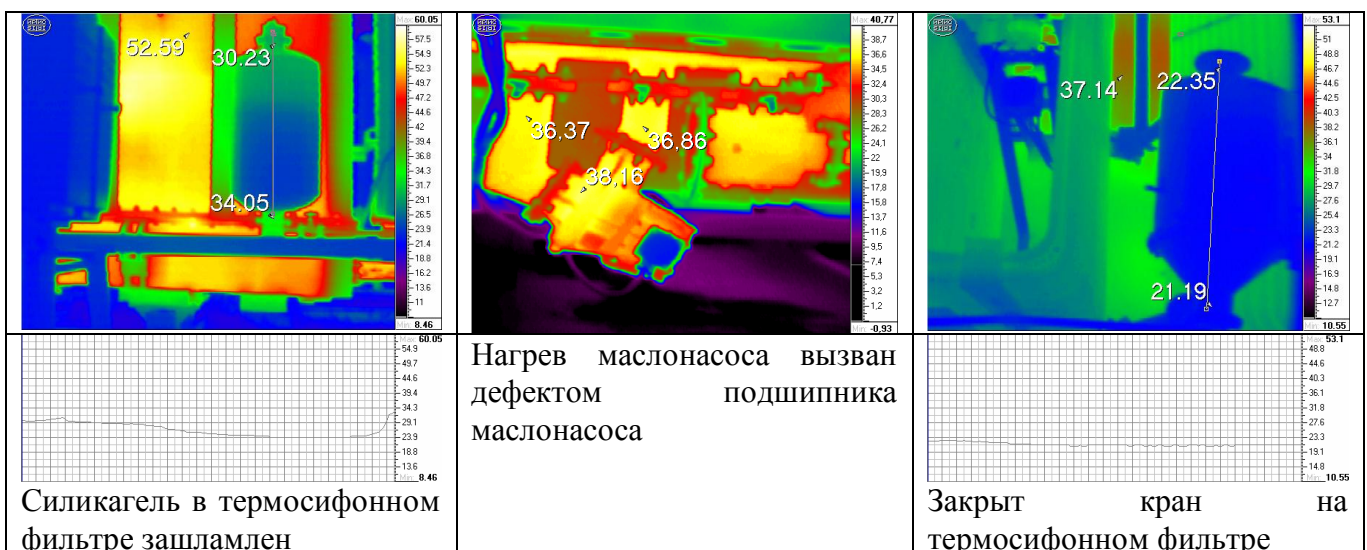


Рис.15.

Рис.16.

№17.

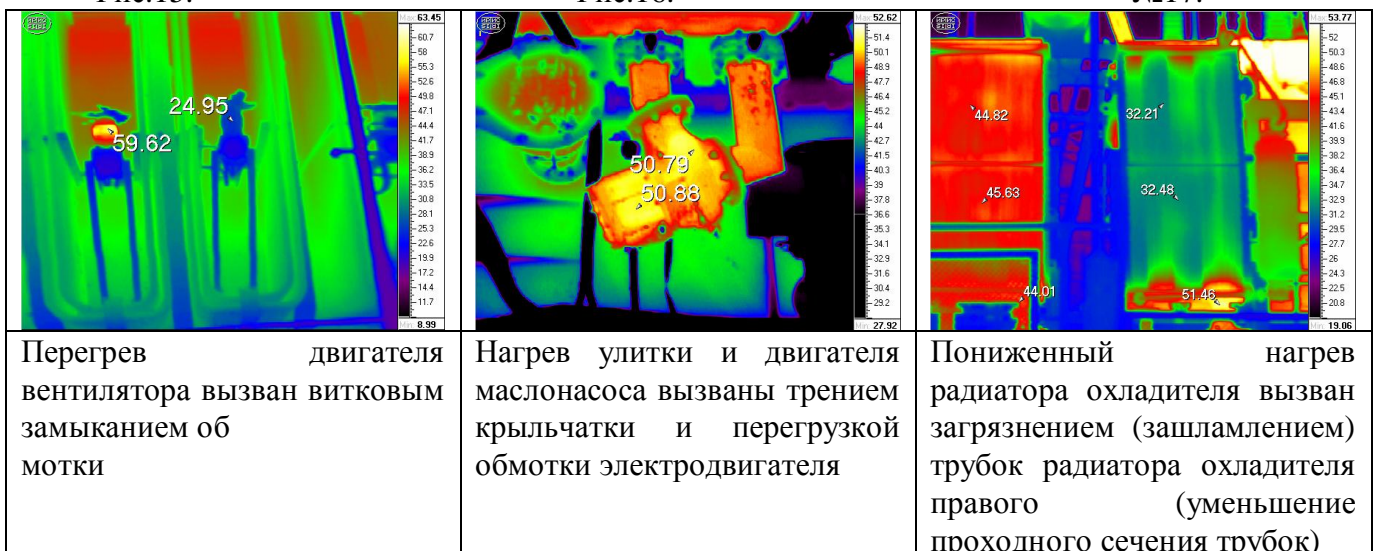
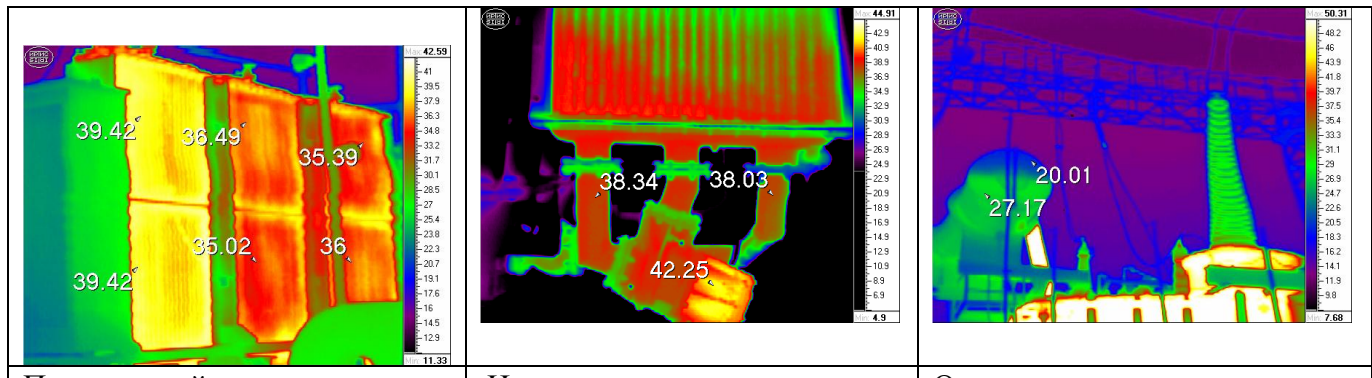


Рис.18.

Рис.19.

Рис.20.



Пониженный нагрев радиаторов охл.2 и 3 вызван загрязнением межтрубного пространства

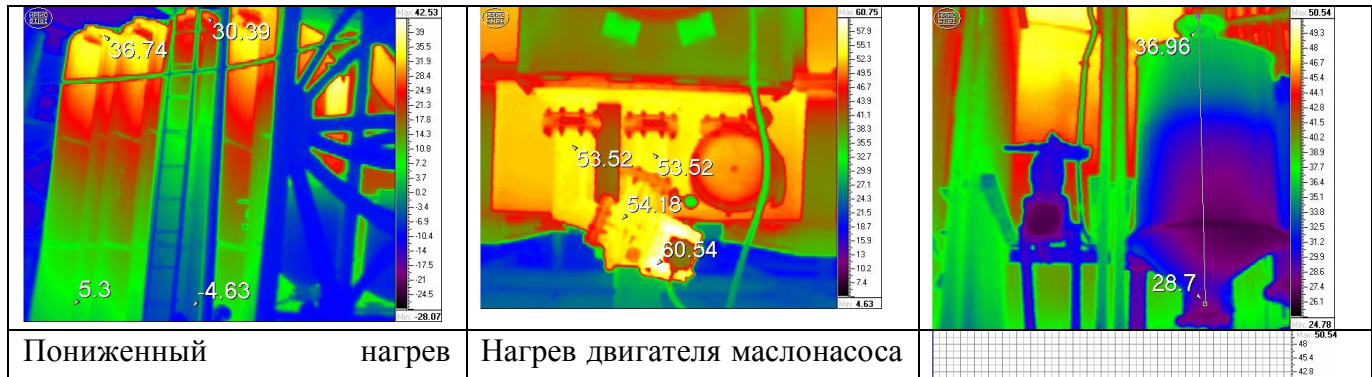
Рис.22.

Нагрев двигателя маслонасоса вызван дефектом электродвигателя (витковое замыкание)

Рис.23.

Определение уровня масла в расширительном баке трансформатора

Рис.23.



Пониженный нагрев радиатора охладителя вызван уменьшением проходного сечения труб радиатора за счет зашламления их продуктами разложения масла и бумаги.

Рис.24.

Нагрев двигателя маслонасоса вызван витковым замыканием обмотки двигателя

Рис.25.

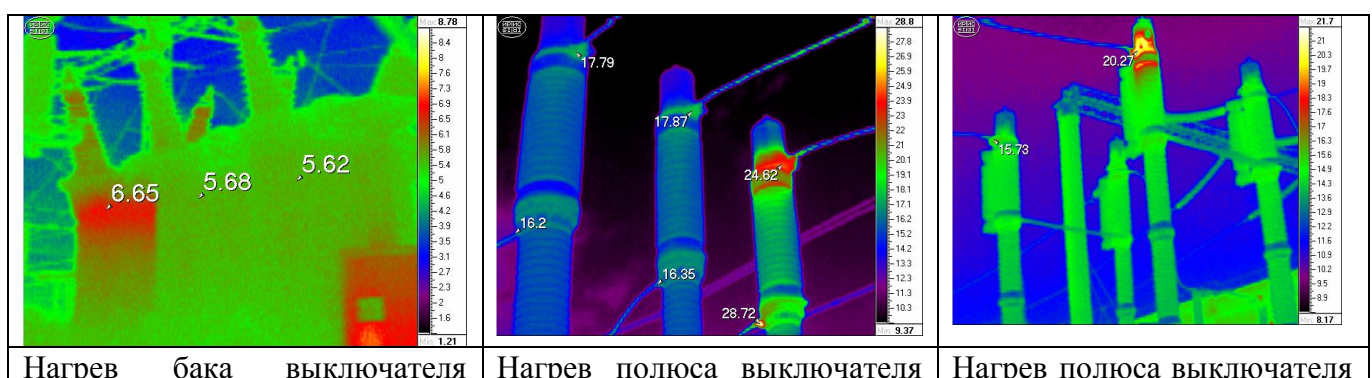
нормальная работа фильтра

Рис.26.

Выключатели

Бак выключателя или его поверхность нагреваются из-за ухудшения состояния контактов и повышения температуры тепловыделения в этих местах.

С помощью термографии можно определить наличие дефектов в выключателях вызванных по следующим причинам:



Нагрев бака выключателя вызван дефектом контактной системы выключателя ВМП-220

Нагрев полюса выключателя со стороны линейного вывода и со стороны профиля выключателя вызван

Нагрев полюса выключателя со стороны линейного вывода вызван дефектом в резьбовом соединении

	дефектом между подвижным и неподвижным контактами	втулки с фланцем дугогасительной камеры в зоне контактного токосъема
--	---	--

Рис.27.

Рис.28.

Рис.29.

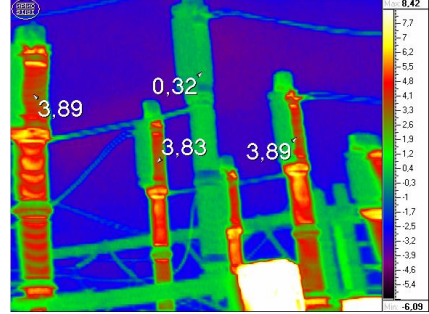
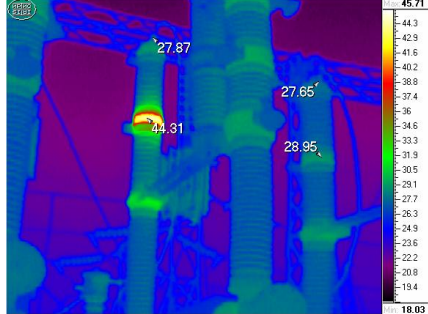
	Пониженный нагрев отдельных выключателей вызван отключением обогрева выключателя ВМТ-220		Нагрев фланца на отделительной колонке воздушного выключателя вызван дефектом контактной системы (розетки)		Нагрев бака выключателя вызван дефектом контактной системы (розетки)
---	--	--	--	---	--

Рис.30.

Рис.31.

Рис.32.

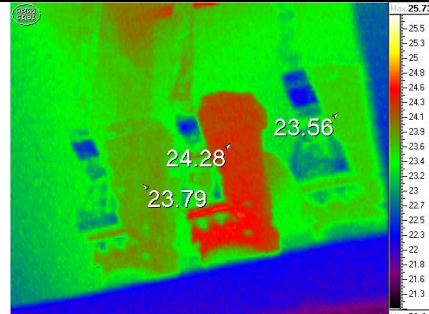
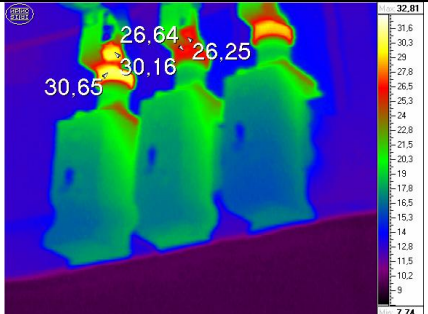
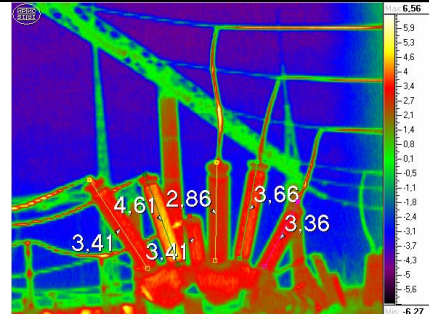
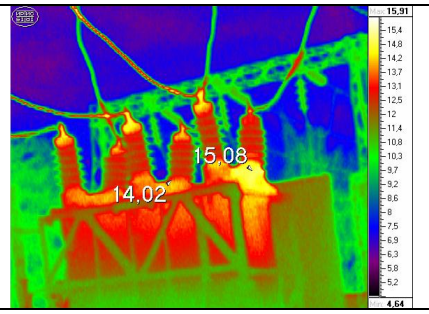
	Нагрев бака выключателя вызван дефектом контактной системы (роликовм токосъемом)		Нагрев фланца, контактного угольника и свечи выключателя вызваны дефектом контактной системы и вихревыми токами		Нагрев вводов средней (ф.3) фаза вызван дефектом контактной системы элегазового выключателя
---	--	--	---	---	---

Рис.33.

Рис.34

Рис.35.

	Нагрев нижней части		
---	---------------------	--	--

выключателя 35кВ вызван дефектом встроенного трансформатора тока

Рис.36.

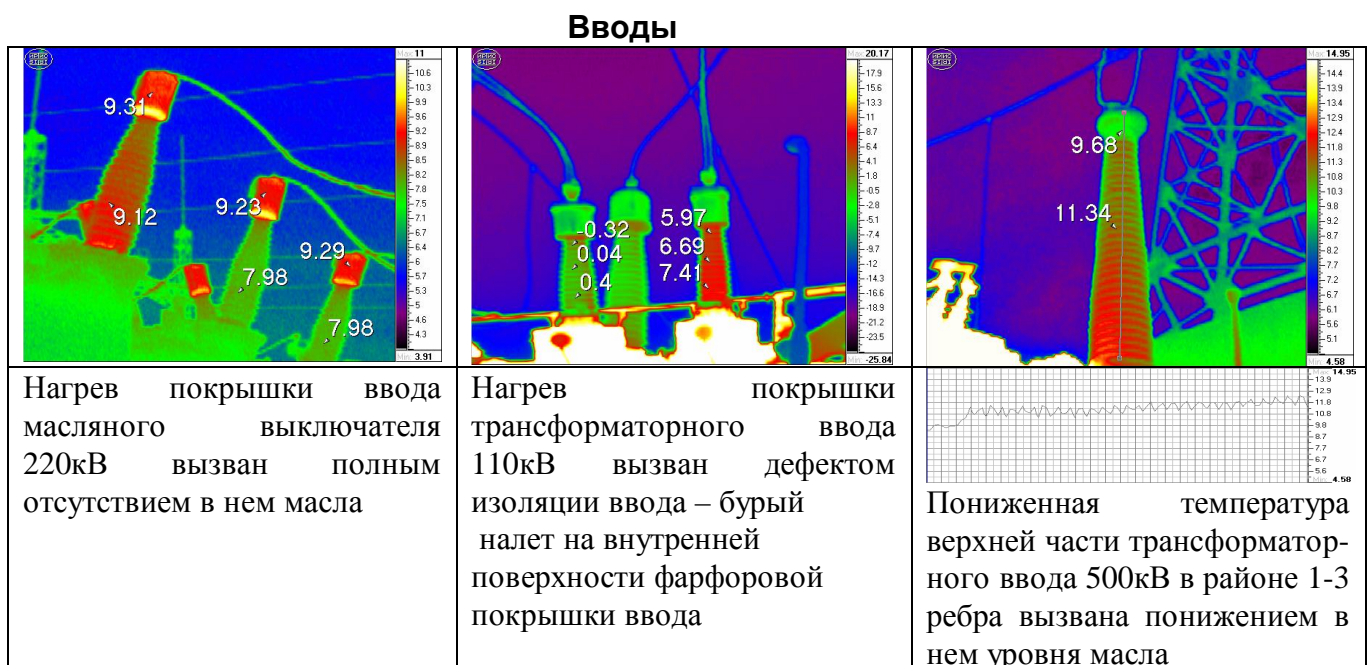


Рис.37.

Рис.38.

Рис.39.

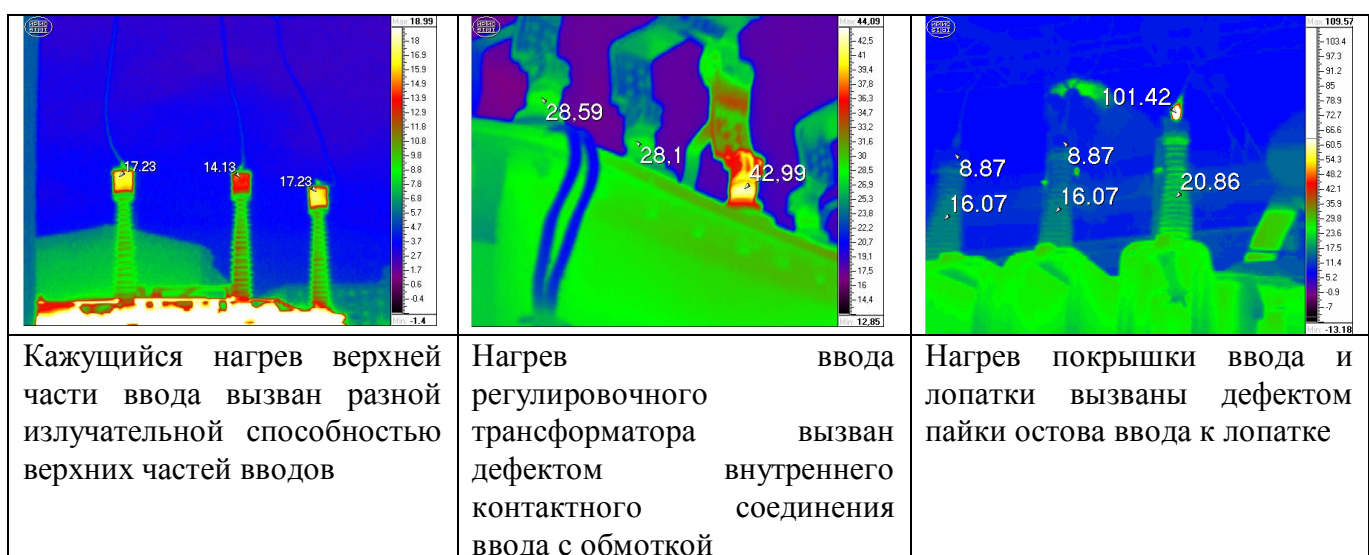
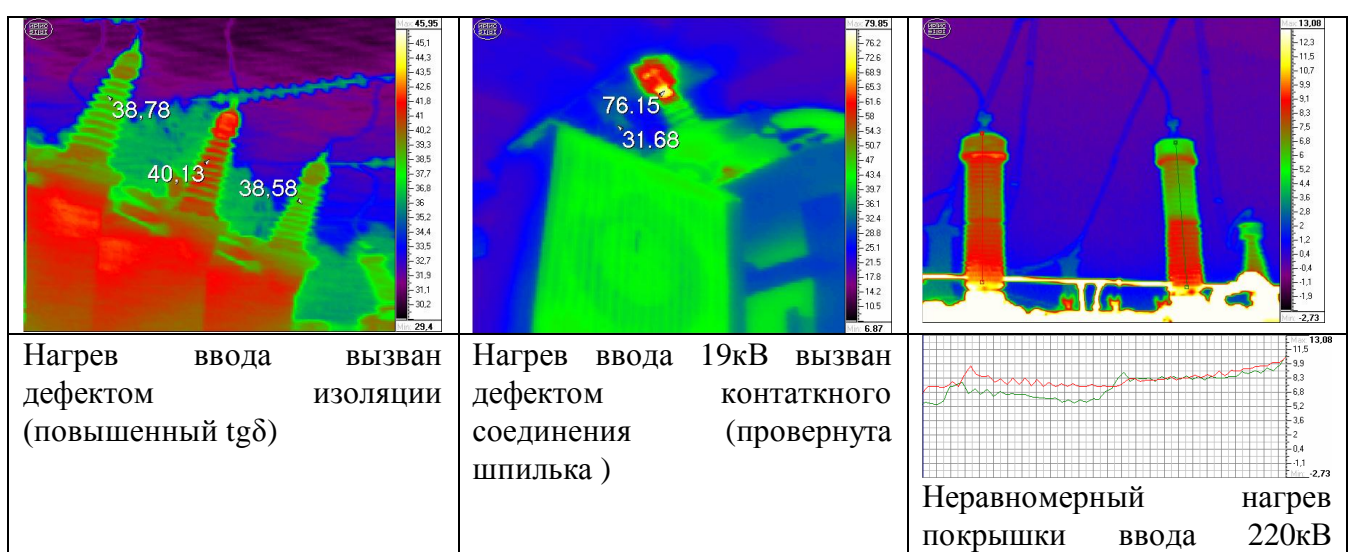


Рис.40.

Рис.41.

Рис.42.



		вызван плохой циркуляцией в нем масла из-за разбухшей бумажной изоляции
--	--	---

Рис.43.

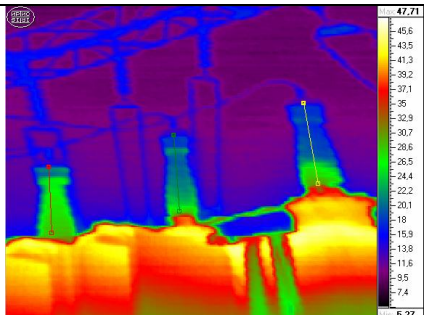


Рис.44.



Рис.45

Неравномерный нагрев покрышки вводов вызван частичной отсутствие в них масла

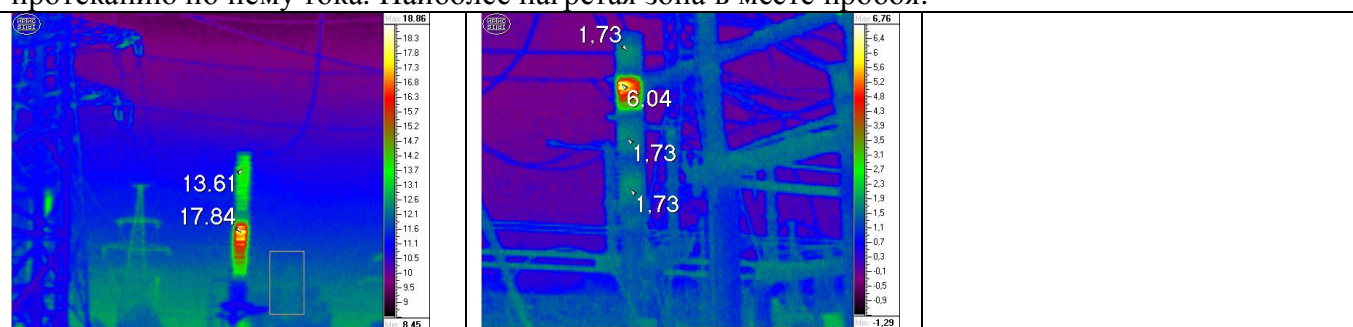
№46

Конденсаторы связи и делительные

Конденсатор связи и делительные конденсаторы воздушных выключателей состоят из фарфоровой покрышки, внутри которой располагается пакет с секциями рулонного типа, соединенных последовательно, а сами пакеты соединены параллельно.

Локальный нагрев фарфоровой покрышки происходит в результате частичного пробоя секции пакета.

Нагрев всей поверхности фарфоровой покрышки происходит в результате полного пробоя секции или нескольких секций пакета, что приводит к увеличению емкости пакета и протеканию по нему тока. Наиболее нагретая зона в месте пробоя.



Нагрев вызван пробоем секции пакета конденсатора связи

Нагрев вызван частичным пробоем секции пакета конденсатора связи

№47

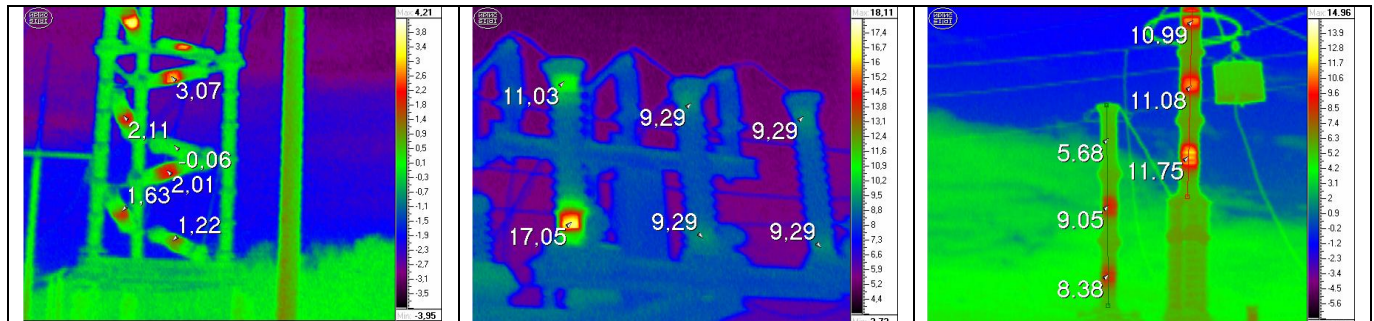
№48

Разрядники.

Неравномерный нагрев разрядников может быть вызван по следующим причинам:

Обрыв шунтирующего резистора или его увлажнение в элементе, элемент имеет более низкую температуру по сравнению с соответствующими элементами остальных фаз и температура его сравнима с окружающей средой

Замыкание искровых промежутков в элементе разрядника вызывает закорачивание ими шунтирующего резистора. При этом сопротивление элемента и всей фазы разрядника уменьшается, а ток проводимости увеличивается и сильнее нагревает незакороченные шунтирующие резисторы.



Отсутствие нагрева покрышки 4 –го элемента (снизу) разрядника 500кВ вызван его увлажнением.

Нагрев фарфоровой покрышки разрядника 35кВ вызван закорачиванием части шунтирующих резисторов

Отсутствие нагрева покрышки 3 –го элемента (снизу) разрядника 220кВ вызван его увлажнением.

Рис.49.

Рис.50.

Рис.51.

Ограничители перенапряжений

ОПН состоит из большого количества последовательно-параллельно соединенных высоколинейных варисторов, помещенных в фарфоровую рубашку и засыпанных кварцевым песком.

Нагрев покрышки ОПН происходит при увлажнении песка, в результате нарушения герметичности, следствием чего увеличивается ток проводимости.

Провал температуры на покрышке ОПН происходит в месте пробоя варисторов.



Провал температуры на покрышке ОПН 500кВ вызван пробоем варисторов

Неравномерный нагрев фарфоровой покрышки ОПН 110кВ вызван дефектом

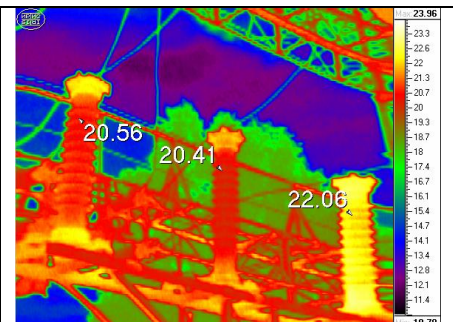
Нагрев фарфоровой покрышки ОПН-220кВ вызван его увлажнением из-за потери

	варистеров	герметичности фланца	нижнего
--	------------	-------------------------	---------

Рис.52.

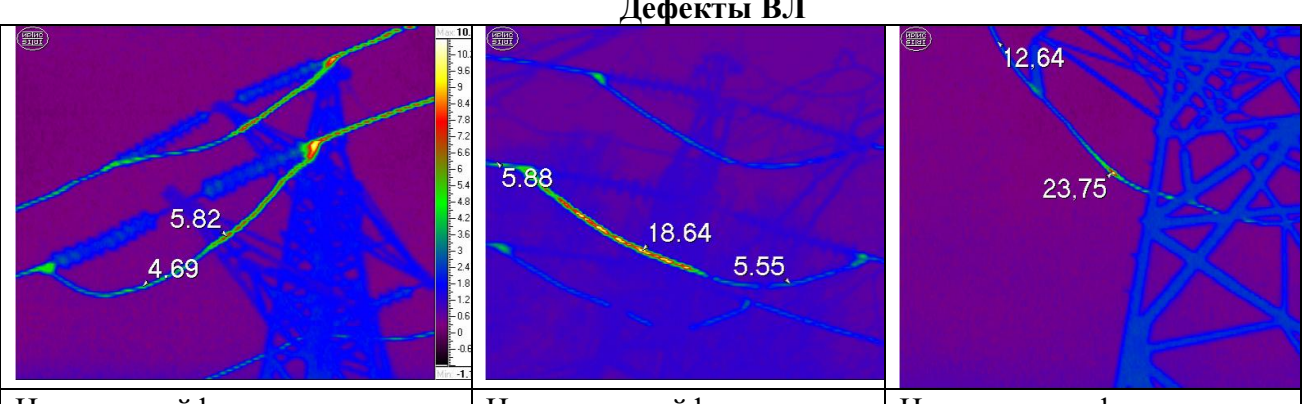
Рис.53.

Рис.54.



Кажущийся нагрев покрышки правого ОПН вызвана разной излучательной способностью ОПН (правый ОПН-35кВ имеет коричневый цвет фарфоровой покрышки, два других белый цвет)

Рис.55.



Нагрев шлейфа провода вызван разной теплопроводностью материалов проводов (алюминий и медь)

Рис.56.

Нагрев шлейфа провода вызван распущенностью (обрыва нескольких жил) провода

Рис.57.

Нагрев шлефа провода вызван дефектом термической сварки шлейфа ВЛ 220кВ

Рис.58.

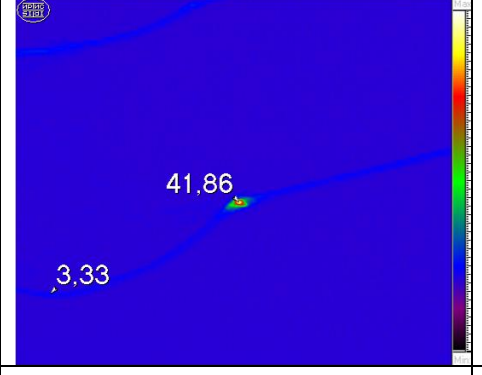
		
Нагрев натяжного зажима провода ВЛ 220кВ вызван дефектом опрессовки		

Рис.59

Пассивные элементы и изоляторы

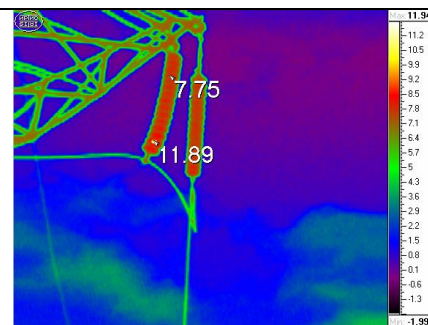
Подвесные тарельчатые изоляторы применяются в виде последовательно соединенных изоляционных конструкций (гирлянд), характер распределения рабочего напряжения по которым имеет U-образный характер. При пробое одного или нескольких изоляторов в гирлянде характер распределения рабочего напряжения в ней изменяется и большая его часть ложится на исправные изоляторы.

Такой же характер носит распределение температур по изоляторам гирлянды. Наибольшее значение температуры приходится на изоляторы, примыкающие к фазному проводу ВЛ, наименьшее, равное температуре окружающей среды, — на пробитые изоляторы.



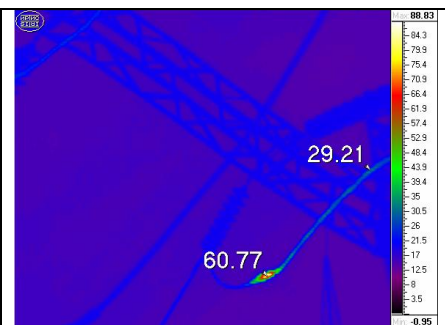
Нагрев стяжных болтов бака трансформатора вызван вихревыми токами возникающими в поддоне трансформатора из-за поля рассеяния

Рис.60.



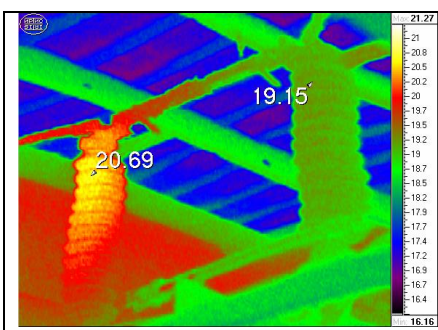
Нагрев фарфорового изолятора вызван дефектом изолятора (пробой секций)

Рис.61.



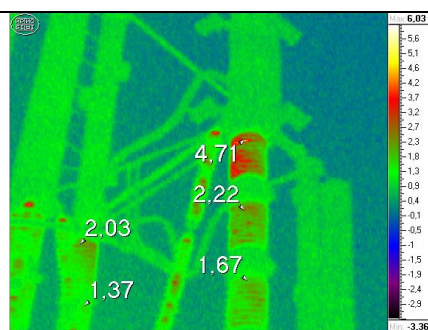
Нагрев шлефа провода в центральной его части вызван дефектом контактной сварки шлейфа

Рис.62



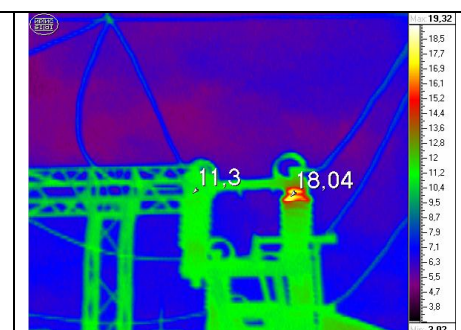
Нагрев изолятора разъединителя вызван дефектом изолятора (ионизация внутри изолятора)

Рис.63.



Нагрев опорного изолятора ВВ-500кВ вызван дефектом изолятора (ионизация внутри изолятора)

Рис.64.

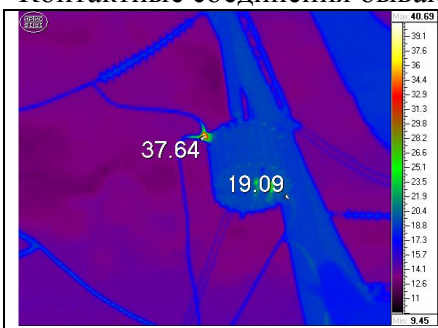


Нагрев верхней части опорного изолятора разъединителя 35кВ вызван дефектом изолятора (трещина в фарфоре)

Рис.65.

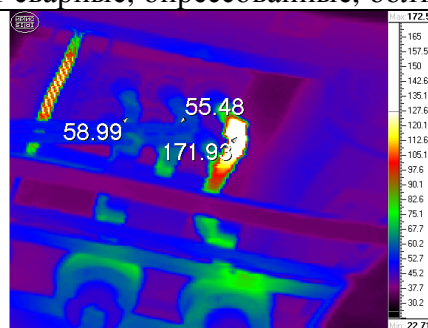
Контактные соединения

Обнаружение нагрева контактных соединений это один из основных наиболее просто выявляемых дефектов. Нагрев происходит из-за большого активного сопротивления контактного соединения. Контактные соединения бывают сварные, опрессованные, болтовые и выполненные скруткой.



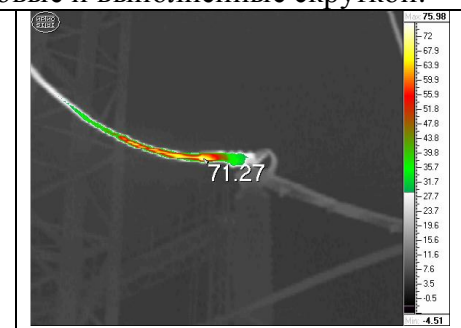
Дефект верхнего болтового контактного соединения высокочастотного заградителя

Рис.66.



дефект контактного соединения вывода генератора 10кВ с ошиновкой

Рис.67.



Дефект контактного соединения выполненного опрессовкой на разъединителе

Рис.68.

Дефект контактного соединения опрессовкой	Дефект болтового контактного соединения кабельного разъединителя	

Рис.69.

Рис.70.

Экранированные токопроводы.

Дефекты в поддерживающих токоведущие шаны изоляторах приводят к их пробою. Быстро выявить такой дефект может тепловизионный метод.

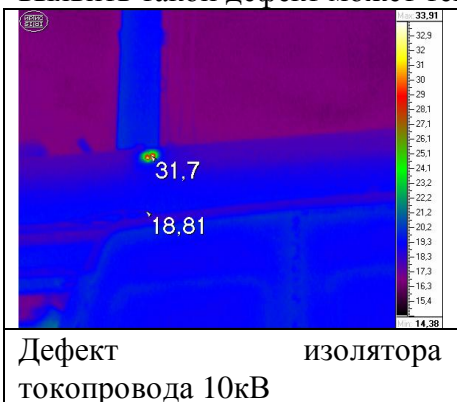


Рис.71.

Силовые кабельные линии.

Нагрев происходит за счет перегрева кабеля, ионизационного износа изоляции кабеля в месте разделки, местной ионизации с наибольшей напряженностью электрического поля.

Нагрев мастики кабельной воронки вызван местной ионизацией	Нагрев жилы кабельной воронки вызван повышенной нагрузкой	Нагрев жилы кабельной воронки вызван ее изломом

Рис.72.

Рис.73.

Рис.74.

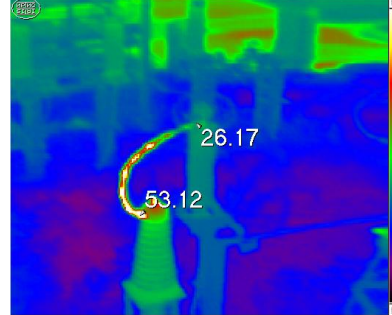
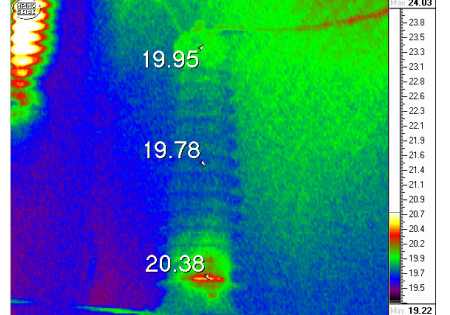
		
Нагрев шлейфа концевой муфты вызван обрывом нескольких жил провода	Дефект концевой муфты вызван дефектом изоляции	

Рис.75.

Рис.76.

Подведя итоги, можно сказать, что своевременно выявленные дефекты электрооборудования позволили предотвратить возможные аварии. Хочется поблагодарить коллектив фирмы «ИРТИС» и ее руководителя Щербакова Михаила Ивановича за создание прекрасной инфракрасной аппаратуры с чувствительностью 0.05°C, которая позволяет выявлять дефекты в начальной их стадии, и теперь с уверенностью можно смотреть в будущее электроэнергетики.

Надеюсь, что приведенные примеры помогут начинающим термографистам в их нелегком труде.

Список литературы

1. Госсопр Ж. Инфракрасная термография. — М.: Мир, 1988.
2. РД 34.45-51.300-97 «Объем и нормы испытаний электрооборудования», Изд.седьмое. – М.: ЭНАС. 2002.
3. Божанов С.А. Инфракрасная диагностика электрооборудования распределительных устройств, М. «Энергопрогресс», «Энергетик», 2000